

بهینه‌سازی فرایند رفع انجماد گوشت مرغ چرخ شده توسط روش ترکیبی تشعشع مادون قرمز - هوای گرم با استفاده از روش سطح پاسخ

مینا داودی¹ - مهدی کاشانی‌نژاد^{2*} - امان محمد ضیایی فر³ - محمد قربانی³

تاریخ دریافت: 1395/12/03

تاریخ پذیرش: 1396/06/23

چکیده

در این پژوهش تاثیر فرایند رفع انجماد با روش ترکیبی تشعشع مادون قرمز - هوای گرم بر خصوصیات کیفی گوشت مرغ چرخ شده مورد بررسی قرار گرفت. ابتدا گوشت مرغ چرخ شده در فریزر 20- درجه سانتی‌گراد به مدت 5 روز منجمد شد، سپس تاثیر پارامترهای فرایند رفع انجماد شامل توان منبع تابش در دامنه 247/73 - 12/27 w، دمای هوا در دامنه 49/43 - 27/57 درجه سانتی‌گراد و سرعت گردش هوا در دامنه 0/21 - 7/47 m/s بر خصوصیات کیفی گوشت مرغ چرخ شده منجمد مورد ارزیابی قرار گرفت و جهت انتخاب شرایط بهینه از روش سطح پاسخ استفاده شد. افزایش توان منبع تابش، دمای هوا و سرعت گردش هوا باعث افزایش سرعت رفع انجماد، ظرفیت نگهداری آب و همچنین کاهش مدت زمان رفع انجماد و افت ناشی از رفع انجماد شد و بر تغییرات رنگ و pH اثر معنی‌داری نداشت ($P > 0.05$). شرایط بهینه رفع انجماد در توان منبع تابش 247/73 w، دمای هوا 38/97 درجه سانتی‌گراد و سرعت گردش هوا 6/75 m/s به دست آمده که در این شرایط مدت زمان رفع انجماد 4/40min، افت ناشی از رفع انجماد 0/03%، سرعت رفع انجماد 30/127 cm/h، ظرفیت نگهداری آب 88/392%، pH 5/9 و اختلاف رنگ 7/94 بود.

واژه‌های کلیدی: خصوصیات کیفی، رفع انجماد، گوشت مرغ چرخ شده، مادون قرمز، هوای گرم

مقدمه

درجه سانتی‌گراد و مرحله سوم، افزایش دما از صفر به 30°C است. با توجه به این که مرحله دوم بیشترین زمان را در طول فرایند رفع انجماد به خود اختصاص می‌دهد هرچه سرعت رفع انجماد در مرحله دوم بیشتر باشد افت ناشی از رفع انجماد کمتر بوده و ارزش تغذیه‌ای محصول بیشتر حفظ می‌شود (Farag et al., 2009). تاکنون مطالعات مختلفی در رابطه با انواع روش‌های رفع انجماد محصولات منجمد با استفاده از تکنولوژی‌های فشار بالا، حرارت اهمی، میدان الکترواستاتیک با ولتاژ بالا و مایکروویو صورت گرفته است که این روش‌ها براساس تولید گرما در محصول عمل می‌کنند (Hong et al., 2009). طی بررسی‌های انجام شده استفاده از تکنولوژی تابشی به جای حرارتی برای رفع انجماد با توجه به این که در تابش انتقال حرارت وابسته به محیط مادی نمی‌باشد و همچنین نیاز به تماس مستقیم به محصول ندارد و میزان انرژی مصرفی نیز کم می‌باشد جایگاه بالاتری را در صنعت می‌تواند به خود اختصاص دهد. تشعشع مادون قرمز در طیف الکترومغناطیس شامل سه زیر بخش (1) مادون قرمز نزدیک، (2) مادون قرمز متوسط و (3) مادون قرمز دور می‌باشد که این دسته‌بندی بر اساس مبانی ارتعاش ملکول‌ها است. اگرچه توافق کلی روی ابتدا و انتهای مرز هر دسته از انواع امواج وجود ندارد

انجماد یکی از روش‌های نگهداری طولانی مدت مواد غذایی است که با توجه به نوع این فرایند اندازه کریستال‌های یخ تشکیل شده در بافت محصول نیز متفاوت می‌باشد و بر خصوصیات کیفی آن تاثیر چشمگیری می‌گذارد. اما بررسی‌ها نشان داده است که تنها فرایند انجماد بر خصوصیات کیفی محصول منجمد موثر نمی‌باشد بلکه نوع فرایند رفع انجماد نیز با توجه به طولانی‌تر بودن مدت زمان آن نسبت به انجماد بر خصوصیات محصول تاثیرگذار است (Icier et al., 2010). به همین علت در سال‌های اخیر روش‌های نوین و کارآمد رفع انجماد به‌طور ویژه مورد توجه قرار گرفته‌اند.

فرایند رفع انجماد شامل سه شکست دمایی می‌باشد که به ترتیب شامل مرحله اول، افزایش دمای نمونه منجمد از دمایی که در آن نگهداری شده است به 5°C-، مرحله دوم، افزایش دما از 5- به صفر

1، 2 و 3- دانشجوی کارشناسی ارشد، استاد و دانشیار، گروه علوم و صنایع غذایی، دانشگاه علوم کشاورزی و منابع طبیعی گرگان، گرگان.

(*مسئول مکاتبات: Email: kashani@gau.ac.ir)

رفع انجماد شد به‌طور ناگهانی افزایش دما اتفاق می‌افتد این افزایش سریع دما تا مرز پخت محصول پیش می‌رود. طبق داده‌های اندازه‌گیری شده و پیش بینی شده به منظور رفع انجماد گوشت گاو توسط مایکروویو، دمای سطح نباید از 10°C بیشتر شود. همچنین زمان مورد نیاز به‌منظور رفع انجماد با این روش نسبت به روش‌های سنتی یک پنجم بوده اما کنترل شرایط در این روش رفع انجماد سخت بوده است. کامپانون و همکاران (2010) تاثیر فرایند رفع انجماد با مایکروویو و یخچال (4°C) را بر گوشت گاو منجمد مورد ارزیابی قرار دادند. طبق بررسی‌ها به علت تفاوت در خواص دی‌الکتریک آب و یخ میزان جذب امواج مایکروویو توسط آن‌ها مختلف می‌باشد. به همین علت در طول رفع انجماد با مایکروویو محصول دچار حرارت‌دهی بیش از حد می‌شود. طبق گزارش آن‌ها به‌منظور تفسیر و بررسی داده‌های انتقال حرارت و جرم بهترین روش حل عددی کرنک- نلسون بوده است. این روش کمترین خطا را با داده‌های آزمایشگاهی داشته است. فاراگ و همکاران (2009) استفاده از امواج رادیویی برای رفع انجماد گوشت گاو منجمد شده را مورد بررسی قرار دادند. طی این روش افت ناشی از رفع انجماد و زمان فرایند کاهش و ظرفیت نگهداری آب درون سلولی افزایش یافته است. همچنین در این راستا فاراگ و همکاران (2011) میزان توزیع یک‌نواختی دما در هنگام رفع انجماد از طریق امواج رادیویی در تمامی قسمت‌های قطعه گوشت گاو مورد نظر را بررسی کردند. با افزایش فرکانس امواج رادیویی عدم یکنواختی در افزایش دما را می‌توان جلوگیری نمود اما پخت محصول نیز اتفاق می‌افتد همچنین پس از این روش محصول مجدد قابلیت نگهداری طولانی مدت به‌صورت منجمد ندارد و باید مصرف شود.

از آنجایی که تاکنون پژوهشی در خصوص استفاده از روش ترکیبی تشعشع مادون قرمز - هوای گرم بر رفع انجماد محصولات غذایی صورت نگرفته و عملکرد تشعشع مادون قرمز در سایر فرایندهای صنایع غذایی مفید بوده است، و از طرف دیگر روش‌های تجاری که در حال حاضر در صنعت استفاده می‌شوند، باعث تغییرات نامطلوبی در محصول نهایی می‌شوند استفاده از روش‌های نوین به‌منظور بهبود کیفیت محصولات در حین فرایند رفع انجماد ضروری است. از این رو در این پژوهش سعی گردید فرایند رفع انجماد گوشت مرغ چرخ شده توسط روش ترکیبی تشعشع مادون قرمز - هوای گرم با روش سطح پاسخ بهینه گردد و تاثیر آن بر مدت زمان رفع انجماد، افت ناشی از رفع انجماد، سرعت رفع انجماد، ظرفیت نگهداری آب، pH و رنگ محصول مورد بررسی قرار گیرد.

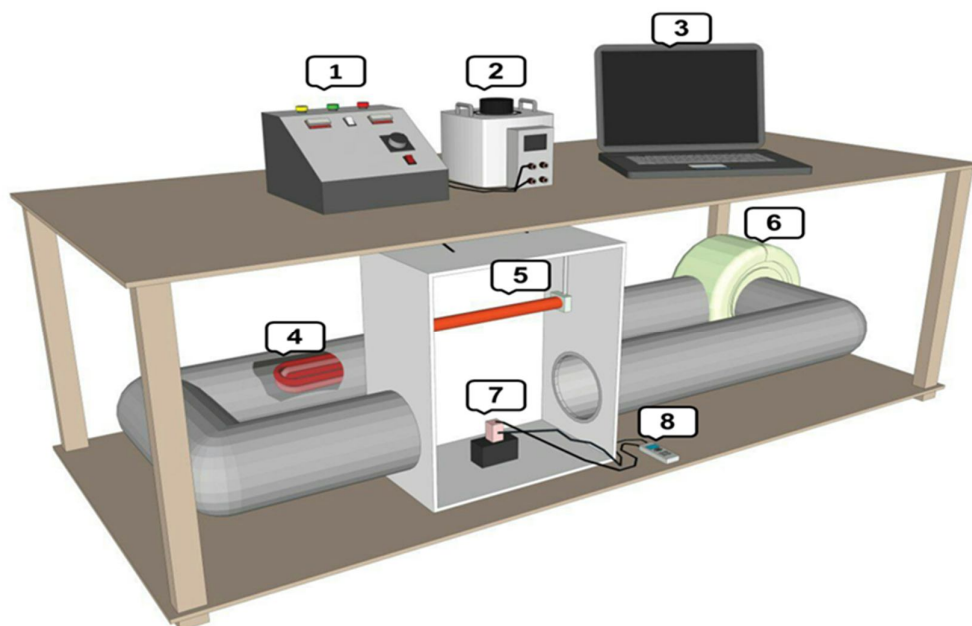
عموماً به‌طور نسبی بیان می‌شوند. امواج مادون قرمز متوسط دارای طول موج $1/5-5/6\ \mu\text{m}$ است که طیفی بین مادون قرمز دور و نزدیک را شامل می‌شود و همچنین توسط اکثریت مواد غذایی توانایی جذب آن وجود دارد. این دامنه طول موج مادون قرمز به‌منظور رفع انجماد مواد غذایی منجمد استفاده می‌شود (Pan and Atungulu, 2010) علاوه بر آن تشعشع مادون قرمز تا به امروز در فرایندهای مختلفی مانند پختن، برشته کردن (Bagheri et al., 2016)، خشک کردن (Salehi et al., 2016)، آنزیم‌بری (Aghajanzadeh et al., 2016) و سایر موارد مورد بررسی قرار گرفته که عملکرد مفیدی داشته است.

هانگ و همکاران (2009) به منظور رفع انجماد گوشت خوک منجمد (-18°C) از تشعشع مادون قرمز (در پنج سطح 47، 80، 121، 171 و 229 وات) و سرعت گردش هوا (در سه سطح صفر، 3 و 6 متر بر ثانیه) استفاده نمودند. بررسی‌ها نشان داد با افزایش توان منبع تابش و سرعت گردش هوا، افت ناشی از رفع انجماد کاهش و ظرفیت نگهداری آب و نیروی برشی افزایش یافته است. راجی و همکاران (2016) اثر دو روش سنتی و صنعتی رفع انجماد را روی تغییرات ترکیبات مغذی نوعی سوپ نیجریه منجمد شده در دمای 20°C - بررسی نمودند. در این پژوهش روش سنتی مورد استفاده آب داغ (100°C) و هوا با دمای $28-32^{\circ}\text{C}$ و روش صنعتی مایکروویو با توان 450 وات بوده است. رفع انجماد با مایکروویو نسبت به دو روش سنتی دیگر کمترین تاثیر منفی را در ترکیبات سوپ شامل کلسیم، سدیم، پتاسیم، فسفر، خاکستر به همراه داشته است. همچنین میزان رطوبت و ویتامین (A, B, E) سوپ رفع انجماد شده نسبت نمونه کنترل اختلاف معنی‌داری نداشته است. استفاده از روش مایکروویو در این پژوهش سبب افزایش دنا توره شدن پروتئین در طول فرایند رفع انجماد شده است. بونسومر و همکاران (2007)، میگو¹ تازه را به دو روش فریزر 28°C - (با سطوح مختلف سرعت گردش هوای 4، 6 و 8 متر بر ثانیه) و ازت مایع (100°C ، 90°C ، 80°C ، 70°C -) منجمد کردند. سپس تاثیر دو روش رفع انجماد با مایکروویو و یخچال (4°C) را بر خصوصیات میگوی منجمد بررسی نمودند. روش‌های رفع انجماد مورد استفاده در این پژوهش سبب افزایش میزان نیروی برشی و عدد تیوباریتوریک اسید و کاهش در صد پروتئین‌های محلول در نمک در میگو شد. طاهر و همکاران (2001) گوشت گاو چرخ شده منجمد در فریزر 20°C - را به روش مایکروویو با توان 650 وات رفع انجماد نمودند. هدف آن‌ها یافتن مدل پیش‌بینی تغییرات دمای نمونه منجمد از هنگام انجماد تا رفع انجماد کامل در سطوح مختلف ضخامت بوده است. بررسی آن‌ها نشان داد رفع انجماد با مایکروویو از سطح شروع شده و بشدت آرام پیش‌روی دارد. زمانی که بخش اعظم نمونه منجمد

مواد و روش‌ها

آماده‌سازی گوشت مرغ چرخ شده منجمد

گوشت مرغ تازه از بازار محلی گرگان تهیه شد و در شرایط یکسان پوست‌گیری و استخوان‌گیری شد. سپس توسط چرخ گوشت (کنوود، انگلستان) با قطر سه میلی‌متر چرخ و در قالبی به ابعاد 3×3×5 سانتی‌متر مکعب قالب‌گیری شد. به منظور اندازه‌گیری دما در طول فرایند ترموکوپل قبل از انجماد نمونه در وسط آن قرار داده و سپس به مدت 5 روز در فریزر (whirlpool، چین) در دمای 20°C- نگهداری شد.



شکل 1- شماتیک سامانه رفع انجماد ترکیبی تشعشع مادون قرمز - هوای گرم: (1) تنظیم‌کننده دما و سرعت گردش هوا، (2) وات متر، (3) لب تاپ، (4) المنت الکتریکی، (5) لامپ مادون قرمز، (6) فن گردش هوا، (7) نمونه و (8) ثبت‌کننده دمای (دی‌تالاگر)

رفع انجماد نیز توسط ثبت‌کننده دما (4 channels Thermometer TM- 947SD) تا رسیدن دمای مرکز به صفر درجه سانتی‌گراد ثبت شد.

تعیین مدت زمان رفع انجماد

در طول فرایند رفع انجماد به منظور اندازه‌گیری مدت زمان فرایند ترموکوپل را قبل از شروع فرایند در مرکز نمونه قرار داده و مدت زمانی که طول می‌کشد دمای مرکز نمونه به یک درجه سانتی‌گراد برسد ثبت شد (Wang et al., 2015).

سرعت رفع انجماد:

به منظور بررسی سرعت رفع انجماد (V_t) از نسبت فاصله سطح

رفع انجماد گوشت مرغ چرخ شده منجمد

به منظور ایجاد شرایط ثابت در اتاقک رفع انجماد دستگاه مادون قرمز - هوای گرم 10 دقیقه قبل از شروع فرایند روشن گردید، سپس گوشت مرغ چرخ شده منجمد در اتاقک رفع انجماد در فاصله 12 سانتیمتری لامپ مادون قرمز قرار گرفت. تیمارها در 20 آزمایش به روش سطح پاسخ بر اساس طرح مرکب مرکزی شامل 6 تکرار در نقطه مرکزی بود و محدوده متغیرها پس از اجرا با نرم‌افزار Design Expert 10.0.6 شامل توان منبع تابش در دامنه 247/73-12/27 وات، دمای هوا در دامنه 49/43-27/57 درجه سانتی‌گراد و سرعت گردش هوا در دامنه 7/47-0/21 متر بر ثانیه به صورت جدول 1 برای رفع انجماد مورد استفاده قرار گرفت. دمای سطح و مرکز نمونه و دمای محفظه توسط ترموکوپل اندازه‌گیری و در طول فرایند

گوشت مرغ چرخ شده تا مرکز (L) آن بر مدت زمانی که طول می‌کشد تا دمای مرکز به 1°C (t) به‌رسد طبق معادله 1 استفاده شد (Yu et al., 2010).

$$V_t(\text{cm/h}) = L(\text{cm/h}) / t (\text{h})$$

(1)

جدول 1- مقادیر متغیرها و سطوح آن‌ها در رفع انجماد ترکیبی تشعشع مادون قرمز - هوای گرم

شماره	A(w)	B($^{\circ}\text{C}$)	C (m/s)
1	130	27/57	3/84
2	200	32	1/68
3	130	49/43	3/84
4	200	45	1/68
5	130	38/50	3/84
6	130	38/50	3/84
7	247/73	38/50	3/84
8	60	45	6
9	130	38/50	7/47
10	12/27	38/50	3/84
11	60	45	1/68
12	130	38/50	3/84
13	60	32	1/68
14	130	38/50	3/84
15	130	38/50	3/84
16	200	32	6
17	130	38/50	3/84
18	200	45	6
19	130	38/50	0/21
20	60	32	6

$$\text{افت ناشی از رفع انجماد} = (1 - (m_1 - m_2) / m_1) \times 100 \quad (3)$$

آب

اندازه‌گیری pH

pH گوشت مرغ چرخ شده بلافاصله پس از رفع انجماد تعیین شد. برای محاسبه این شاخص ابتدا 5 گرم گوشت را وزن کرده و به همراه 45 میلی‌لیتر آب مقطر هموزن گشت. سپس توسط pH متر دیجیتال (microprocessor، ایتالیا) اندازه‌گیری شد (Chan et al., 2011).

ارزیابی رنگ

جهت بررسی رنگ گوشت مرغ چرخ شده رفع انجماد شده از روش پردازش تصویر استفاده شد. نمونه‌ها بلافاصله پس از فرایند با یک دستگاه اسکنر رنگی (Canon, Cano Scan, LiDE 120) و Scanner با دقت 600DPI اسکن شد. تصاویر با فرمت JPEG و در فضای رنگی RGB ذخیره شدند. سپس با نرم‌افزار Image J software version 1.42e, USA فضای رنگی RGB به $a^* b^*$

افت ناشی از رفع انجماد

افت ناشی از رفع انجماد به صورت درصدی از وزن اولیه گوشت مرغ چرخ شده منجمد محاسبه شد. بدین ترتیب که ابتدا قطعه گوشت چرخ شده منجمد وزن شده (m_1)، سپس وزن همان قطعه گوشت پس از رفع انجماد نیز تعیین گردید (m_2). در ادامه برای اندازه‌گیری افت ناشی از رفع انجماد از معادله 2 استفاده شد (Xia et al., 2012).

(2)

ظرفیت نگهداری آب

جهت تعیین این شاخص ابتدا میزان رطوبت گوشت مرغ چرخ شده را اندازه‌گیری کرده و در ادامه 10 گرم از گوشت مرغ چرخ شده پس از رفع انجماد وزن شد و درون یک کاغذ صافی وزن شده پیچیده شد و سپس در داخل یک لوله سانتریفیوژ (Hanil، کره)، با دور 3000g، دمای 4°C و مدت زمان 20 دقیقه قرار داده شد. پس از پایان زمان سانتریفیوژ گوشت مرغ چرخ شده و کاغذ صافی جداگانه توزین گردید. به منظور اندازه‌گیری این شاخص از معادله 3 استفاده شد (Hsieh et al., 2010).

سانتی‌گراد (شکل 2- الف) و همچنین اثر متقابل سرعت گردش هوا از 0/21 به 7/47 متر بر ثانیه و دما از 27/57 به 49/43 درجه سانتی‌گراد (شکل 2- ب) مدت زمان رفع انجماد از 13/5 به 6/8 دقیقه کاهش یافت. سرعت فرایند رفع انجماد با توجه به تغییر فاز جامد به مایع در طول زمان کاهش پیدا می‌کند هرچه میزان آب آزاد نمونه منجمد بیشتر باشد مدت زمان رفع انجماد طولانی‌تر خواهد بود (Li et al., 2014). در توان، دما و سرعت گردش هوای کم میزان افت ناشی از رفع انجماد بیشتر و مدت زمان رفع انجماد هم افزایش پیدا کرده و 13/5 دقیقه بوده است. علاوه بر این طبق گزارش پن و همکاران (2010) میزان جذب تشعشع مادون قرمز توسط یخ و آب تقریباً با هم برابر است. این بدان معنا می‌باشد که تغییر فاز در طول رفع انجماد با تشعشع مادون قرمز زمان کمتری نسبت به سایر امواج الکترومغناطیس به همراه خواهد داشت. که طبق بررسی و تفسیر داده‌های مربوط به مدت زمان رفع انجماد در این پژوهش مشاهده شد تغییر فاز زمان زیادی از فرایند را شامل نشده است. این در حالی است که در طول رفع انجماد با امواج میکروویو و یا امواج رادیویی در اکثر مواد غذایی به علت دو قطبی دائمی بودن آب می‌تواند زمانی که تحت تاثیر امواج الکترومغناطیس قرار گرفته به سرعت افزایش جنبش مولکولی داشته باشد. این ویژگی آب علاوه بر اینکه باعث کوتاه شدن مدت زمان رفع انجماد می‌شود سبب پخت ناگهانی محصول نیز می‌شود که یکی از مشکلات فرایند رفع انجماد می‌باشد (Rosenthal, 2012). در صورتی که این مشکل در تشعشع مادون قرمز وجود نداشته است. فاراگ و همکاران (2009) به منظور رفع انجماد گوشت گاو چرخ شده با ضخامت 1/2 سانتی‌متر از امواج رادیویی استفاده کردند و مدت زمان رفع انجماد را حدود 8/5 دقیقه گزارش کردند. با توجه به این که گوشت گاو قبل از شروع فرایند انجماد چربی‌گیری شده و در سرعت مناسب منجمد شده است. در نتیجه بیشترین سهم زمان رفع انجماد مربوط به نوع تکنولوژی رفع انجماد می‌باشد این در مقایسه با روش ترکیبی به کار برده شده در این پژوهش با در نظر گرفتن آنکه ضخامت گوشت مرغ مورد استفاده حدود 4 برابر گوشت گاو بررسی شده است و بیشترین زمان رفع انجماد گوشت مرغ چرخ شده 13/5 دقیقه می‌باشد، اختلاف قابل توجهی است. معادله 5 مدل پیشنهادی برای این پاسخ به صورت چند جمله‌ای درجه دوم و با $R^2 = 0/97$ ارائه شده است و مقدار P برای آزمون فقدان برازش بزرگتر 0/05 (0/4837) بود. در تمامی معادلات آورده شده P توان تشعشع مادون قرمز، T دمای هوا و V سرعت گردش هوای گرم می‌باشد.

$$\text{Thawing time} = +6.782 + 0.0325P + 0.1522 T + 1.7565V - 0.0013 P T - 0.0273 T V - 0.09716V^2 \quad (5)$$

L^* تبدیل گردیدند. بدین ترتیب، مقادیر L^* ، a^* و b^* هر یک از تصاویر مربوط به نمونه‌ها محاسبه و میانگین آنها گزارش شدند. به منظور ارزیابی تغییرات رنگ هر نمونه پس از فرایند نسبت به قبل از فرایند رفع انجماد از معادله 4 استفاده شد که در این معادله مقادیر a ، b و L مربوط به نمونه قبل از فرایند انجماد و رفع انجماد می‌باشد (Salehi et al., 2016).

$$(\Delta E) = ((a^* - a)^2 - (b^* - b)^2 - (L^* - L)^2)^{0.5} \quad (4)$$

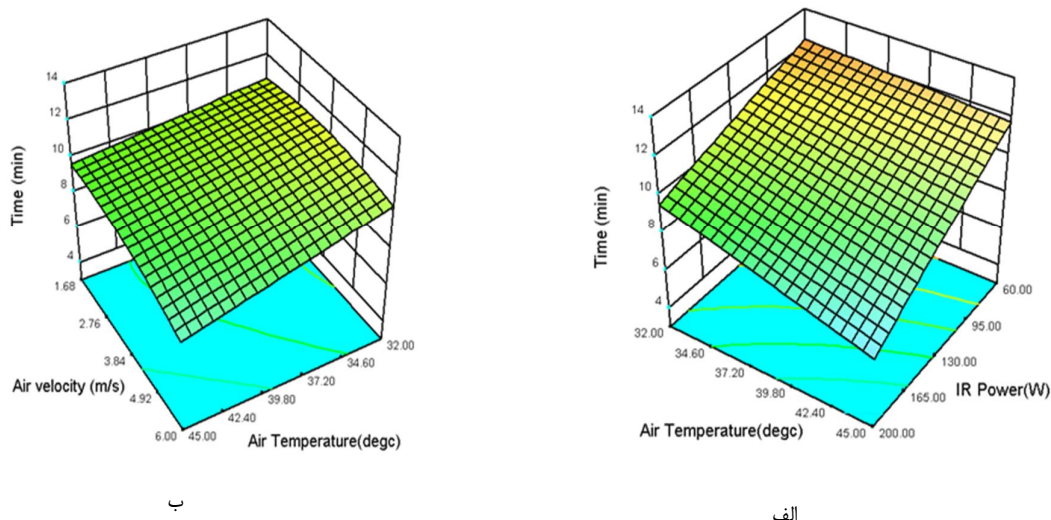
تجزیه و تحلیل آماری داده‌ها

در این پژوهش روش سطح پاسخ در قالب طرح مرکب مرکزی چرخش پذیر برای پیش‌بینی تاثیر متغیرهای فرایند رفع انجماد با روش ترکیبی تشعشع مادون قرمز - هوای گرم بر خصوصیات کیفی گوشت مرغ چرخ شده به کار برده شد. تیمارها در 20 آزمایش بر اساس طرح مرکب مرکزی شامل 6 تکرار در نقطه مرکزی چیده شدند. متغیرهای مستقل مورد استفاده شامل توان منبع تابش (در دامنه 27/57 - 247/73 وات)، دمای هوا (در دامنه 27/57 - 49/43 درجه سانتی‌گراد) و سرعت گردش هوا (در دامنه 0/21 - 7/47 متر بر ثانیه) و پاسخ‌های اندازه‌گیری شده شامل مدت زمان رفع انجماد، افت ناشی از رفع انجماد، سرعت رفع انجماد، ظرفیت نگهداری آب، pH و ارزیابی رنگ بودند. آنالیز داده‌ها و رسم نمودارها با استفاده از نرم‌افزار Design Expert 10.0.6 صورت پذیرفت. تجزیه واریانس برای ارزیابی اثرات معنی‌دار متغیرهای فرایند بر هریک از پاسخ‌ها انجام شد. با انجام آنالیز رگرسیون چندمتغیره، مدل‌های مختلف بر اساس R^2 پیش‌بینی شده و R^2 اصلاح شده مقایسه شد، به صورتی که مدلی که دارای بیشترین مقادیر این فاکتورها باشد دارای دقت بیشتری خواهد بود. آنالیز واریانس برای تعیین عدم برازش و معنی‌دار بودن اثرات خطی، درجه دوم و برهم‌کنش متغیرهای مستقل بر متغیرهای وابسته نیز صورت گرفت. اگر مقدار P برای آزمون عدم برازش در ANOVA بزرگتر مساوی 0/05 بود به معنای کافی بودن مدل برای پیش‌بینی پاسخ مورد نظر بود (Seyedabadi et al., 2016).

نتایج و بحث

مدت زمان رفع انجماد

همانطور که در شکل 2 ملاحظه می‌گردد توان منبع تابش، دما و سرعت گردش هوا اثر معنی‌داری ($P < 0.05$) بر مدت زمان رفع انجماد داشته است. تغییرات دمای گوشت مرغ چرخ شده منجمد در طول فرایند رفع انجماد هر یک ثانیه ثبت گردید. در ابتدا دما از 20- تا 7°C - با سرعت زیادی افزایش یافت سپس بیشترین زمان رفع انجماد مربوط به افزایش دما از 7- تا 1°C بود. با افزایش اثر متقابل توان دستگاه از 12/27 به 247/73 وات و دما از 27/57 به 49/43 درجه



شکل 2- اثر توان منبع تابش، دمای هوا و سرعت گردش هوا بر مدت زمان رفع انجماد

افزایش می‌یابد (Knorr *et al.*, 2011). در این پژوهش توان دستگاه از 12/27 به 247/73 وات، دما از 27/57 به 49/43 درجه سانتی‌گراد و سرعت گردش هوا از 0/21 به 7/47 متر بر ثانیه افزایش یافت و این امر سبب کاهش مدت زمان رفع انجماد می‌باشد. در نتیجه کریستال‌های یخ در طول رفع انجماد به سرعت تغییر حالت داده و زمان کافی برای آسیب به دیواره سلولی ندارند. همچنین فاصله زمانی رفع انجماد مواد داخل سلول و بین سلول کم بوده افت مواد مغذی همراه با افت ناشی از رفع انجماد کاهش می‌یابد. طبق معادله 6 بیشترین مقدار R^2 برای مدل چند جمله‌ای درجه دوم 94% بوده است که نشان می‌دهد این مدل توانایی پیش‌گویی تا 94% افت ناشی از رفع انجماد را دارد و مقدار P برای آزمون فقدان برازش بزرگتر از 0/05 (0/8106) بود. در معادله 6 اثر خطی افزایش سرعت گردش هوا در کاهش افت ناشی از رفع انجماد بیشتر از دمای هوا و توان منبع تابش است.

$$\text{Thawing loss} = 20.41070 - 0.089159 P - 0.33647 T - 1.13534 V + 0.006018 P T + 0.019500 VT \quad (6)$$

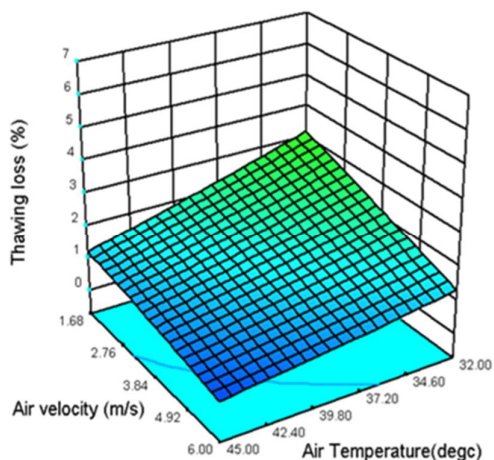
هانگ و همکاران گزارش کردند طی رفع انجماد گوشت خوک با افزایش توان لامپ از 47 به 229 وات، افت ناشی از رفع انجماد کاهش یافته اما درصد این افت تغییرات معنی‌داری در طول افزایش توان نداشته است و از 4 به 3 درصد کاهش یافته است (Hong *et al.*, 2009). با استفاده از روش ترکیبی در این پژوهش افت ناشی از رفع انجماد به مقدار معنی‌داری با افزایش توان منبع تابش و دمای هوا

افت ناشی از رفع انجماد

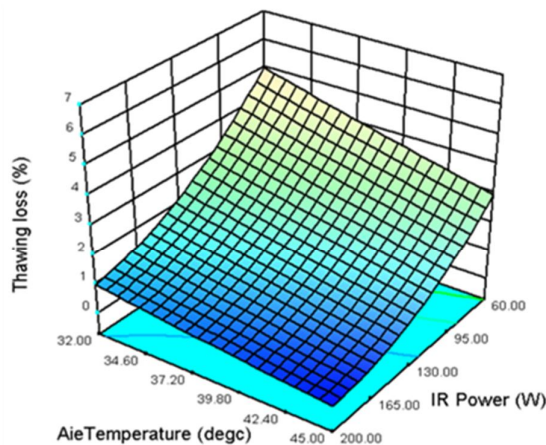
طبق شکل 3 و نتایج آنالیز واریانس و مقایسه میانگین کل افت ناشی از رفع انجماد نمونه‌ها نشان داد که در همه تیمارها افزایش توان، دما و سرعت گردش هوا به‌طور معنی‌داری ($P < 0.05$) باعث کاهش افت ناشی از رفع انجماد از 6/1 به 0/03 شده است همچنین اثر متقابل دمای هوا و توان منبع تابش طبق شکل 3-الف کمترین تاثیر را در افزایش افت ناشی از رفع انجماد نسبت به اثر متقابل دمای هوا و سرعت گردش هوا طبق شکل 3-ب دارد. میزان افت ناشی از رفع انجماد وابسته به مقدار آب آزاد و باند شده، درصد چربی نمونه، مکان و سایز کریستال‌های یخ تشکیل شده است. هرچه مدت زمان رفع انجماد طولانی‌تر باشد کریستال‌های یخ فرصت بیشتری را برای آسیب به دیواره سلولی دارند و افت ناشی از رفع انجماد هم بیشتر خواهد شد (Alizadeh *et al.*, 2007). به‌طور کلی بخشی از افت ناشی از رفع انجماد وابسته به نوع فرایند انجماد و بخشی دیگر وابسته به رفع انجماد می‌باشد. انجماد محصول باید در کوتاه‌ترین زمان ممکن صورت گیرد. در چنین شرایطی انجماد در داخل و خارج سلول به‌صورت یکنواخت انجام گرفته، و مایع درون سلول به علت فشار اسمزی از آن خارج نمی‌شود در نتیجه افت مواد مغذی در طول رفع انجماد کمتر صورت می‌گیرد. با توجه به اینکه میزان ترکیبات جامد محلول در مایع بین سلولی کمتر می‌باشد رفع انجماد در این بخش سریع‌تر حاصل می‌شود و در صورت کند بودن رفع انجماد در بازه زمانی که اجزای جامد داخل سلولی رفع انجماد می‌شود مواد محلول در مایع بین سلولی از محصول خارج شده و افت ناشی از رفع انجماد

افت ناشی از رفع انجماد جلوگیری می‌کند.

کاهش یافته است. افزایش دمای هوا کمک به تسریع رفع انجماد نمود و از افزایش آسیب بافتی در طول رفع انجماد و در نتیجه افزایش



ب



الف

شکل 3- اثر توان منبع تابش، دمای هوا و سرعت گردش هوا بر افت ناشی از رفع انجماد

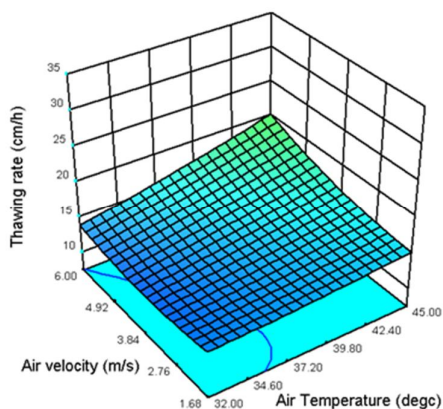
رفع انجماد را دارد و مقدار P برای آزمون فقدان برازش بزرگتر 0/05 (0/3337) بود. همچنین توان منبع تابش بیشترین تاثیر خطی را بر افزایش سرعت رفع انجماد داشت.

$$\text{Thawing rate} = 47.79554 - 0.20736P - 1.04083 T - 5.30906 V + 0.004842 P T + 0.0078422 PV + 0.087661TV \quad (7)$$

وایو و همکاران (2010) سرعت رفع انجماد گوشت خوک را با چهار روش رفع انجماد شامل هوای 8، هوای 23°C، آب 24°C و آب 32°C مورد ارزیابی قرار دادند و به ترتیب سرعت رفع انجماد را 0/65، 0/89، 3/16 و 5/22 سانتی‌متر بر ساعت گزارش کردند (Yu et al., 2010). هانگ و همکاران (2009) سرعت رفع انجماد گوشت خوک به روش تشعشع مادون قرمز با توان 47-229 وات را بررسی کرده و در محدوده 15 cm/h گزارش نمودند (Hong et al., 2009). سرعت رفع انجماد دستگاه ترکیبی تشعشع مادون قرمز - هوای گرم با توجه به آنالیز واریانس در مقایسه با روش سنتی رفع انجماد که آب گرم/سرد و هوای گرم/سرد است بسیار بالاتری را داشته. همچنین در مقایسه با روش تشعشع مادون قرمز - گردش هوا کارآمدتر بوده است.

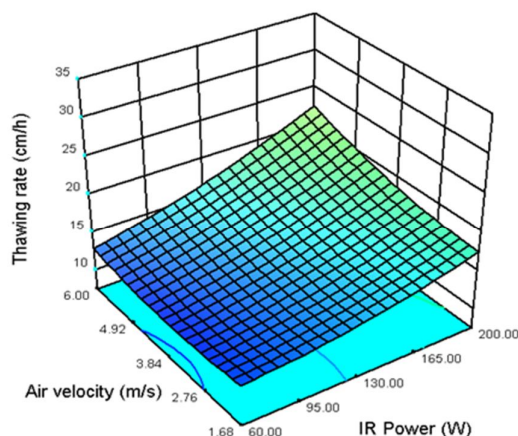
سرعت رفع انجماد

طبق شکل 4 و بررسی نتایج آنالیز واریانس و مقایسه میانگین سرعت رفع انجماد، تیمارهای مختلف رفع انجماد نشان دادند که اثر سطوح مختلف پارامترهای توان منبع تابش، دمای هوا و سرعت گردش هوا معنی‌دار است، همچنین اثر متقابل سرعت گردش هوا و توان منبع تابش (شکل 4-الف) نسبت به اثر متقابل دما و سرعت گردش هوا (شکل 4-ب) بیشتر باعث افزایش سرعت رفع انجماد شد. افزایش سرعت گردش هوا نسبت به افزایش توان منبع تابش و دمای هوا تاثیر مثبتی بر سرعت رفع انجماد نداشته است. بیشترین کمترین سرعت رفع انجماد 30/674 cm/h و 11/111 بود که به ترتیب مربوط به تیمارهای 200w، 45°C، 6 m/s و 12/27w، 38/50°C، 3/84 m/s است. هرچه مدت زمان رفع انجماد کمتر باشد سرعت رفع انجماد بیشتر خواهد شد. در تیمار 200w، 45°C، 6 m/s زمان رفع انجماد 4/89 دقیقه بوده که نسبت به سایر تیمارها کمترین زمان می‌باشد به همین علت سرعت رفع انجماد بیشتر را دارا می‌باشد. سرعت رفع انجماد تاثیر مستقیم بر مقدار افت ناشی از رفع انجماد می‌گذارد (James et al., 2009) و همچنین یکی از شاخص‌های مهم ارزیابی روش‌های رفع انجماد می‌باشد زیرا توصیفی بر مقدار محصولی است که در هر ساعت یک دستگاه توانایی رفع انجماد آن را خواهد داشت (Hong et al., 2009). بر اساس نتایج به دست آمده از معادله 7 بیشترین مقدار R² برای مدل چند جمله‌ای درجه دوم برابر 90% بود که نشان می‌دهد مدل 90% قابلیت پیشگویی مقدار سرعت



ب

شکل 4- اثر توان منبع تابش، دمای هوا و سرعت گردش هوا بر سرعت رفع انجماد



الف

داد که اختلاف معنی‌داری بین تغییرات توان منبع تابش و سرعت گردش هوا بر روی میزان ظرفیت نگهداری آب وجود ندارد. ولی افزایش دمای محفظه سبب تغییر معنی‌دار ($P < 0.05$) میزان ظرفیت نگهداری آب در دامنه $96/32\%$ - $69/895\%$ شده است که به ترتیب مربوط به تیمارهای $130w$ ، $49/43^\circ C$ ، $3/84$ m/s و 200 w و $32^\circ C$ ، 6 m/s می‌باشد. بر اساس نتایج به دست آمده بیشترین مقدار R^2 برای مدل خطی 73% و مقدار P برای آزمون فقدان برآزش بزرگتر $0/05$ ($0/257$) بود. معادله 8 تاثیر متغیرهای توان منبع تابش، دمای هوا و سرعت گردش هوا را بر میزان ظرفیت نگهداری آب گوشت مرغ چرخ شده نشان می‌دهد.

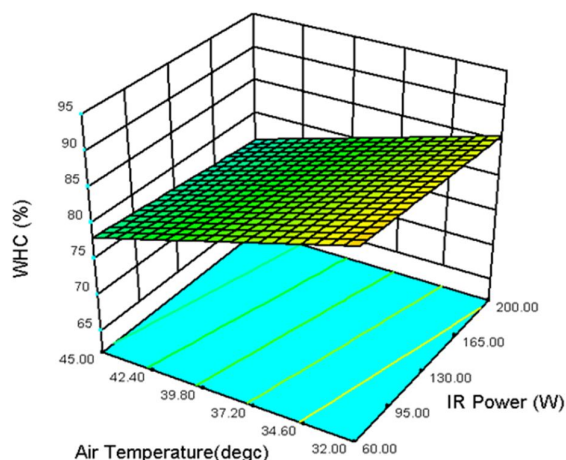
$$\text{Water holding capacity (WHC)} = 105.85442 - 0.0097515 P - 0.59019 T + 0.16604 V \quad (8)$$

علی و همکاران (2015) میزان ظرفیت نگهداری آب گوشت سینه مرغ را پس از رفع انجماد در یخچال $4^\circ C$ در دامنه $58/8$ - 50% گزارش کردند. هانگ و همکاران (2009) به منظور رفع انجماد گوشت خوک در توان 47 وات تشعشع مادون قرمز و سرعت گردش هوا صفر و 6 متر بر ثانیه افت معنی‌داری از ظرفیت نگهداری آب گوشت را در دامنه 82 - 86% مشاهده کردند که این امر موجب می‌شود با افزایش توان تشعشع مادون قرمز در طول رفع انجماد نمونه حجم زیادی از آب آزاد خود را از دست داده و دچار خشکیدگی سطحی شود. استفاده از دمای هوای گرم در ترکیب با تشعشع مادون قرمز سبب گرم شدن محفظه و سرعت بخشیدن به فرایند رفع انجماد در توان‌های بالا

ظرفیت نگهداری آب

طبق شکل 5 و معادله 8 می‌توان دریافت اثر منفی دمای محفظه بر کاهش میزان ظرفیت نگهداری آب نسبت به سایر متغیرهای مستقل موثرتر می‌باشد. هرچه میزان دمای هوا کاهش پیدا کند و سرعت گردش هوا و توان منبع تابش افزایش یابد میزان ظرفیت نگهداری آب گوشت مرغ چرخ شده بیشتر می‌شود. میزان ظرفیت نگهداری آب گوشت به ساختار میوفیبریل پروتئین‌ها و به‌طور ویژه به میوبین وابسته است. اکسیداسیون و تغییرات بر استحکام میوفیبریل‌ها اثر می‌گذارد و باعث از دست دادن آب درون بافتی گوشت می‌شود (Ali et al., 2015). افزایش دما سبب آسیب به ساختار سلولی شده و دیواره سلولی ضعیف می‌گردد به همین علت پس از رفع انجماد هنگامی که محصول برای فرایندهای بعدی آماده می‌شود توانایی نگهداری آب درون سلولی میان میوفیبریل‌ها را نداشته و ظرفیت نگهداری آب کاهش می‌یابد. در صورتی که تشعشع مادون قرمز - هوای گرم به‌صورت ترکیبی استفاده شود درجه حرارت زیاد و طولانی مدت به‌منظور رفع انجماد نیاز نمی‌باشد این امر مانع دنا توره شدن پروتئین‌ها و در هم شکستن ساختار طبیعی میوفیبریل‌ها می‌شود در نتیجه محصول توانایی حفظ آب درون سلولی را از دست نخواهد داد. توانایی نگهداری آب تاثیر چشمگیری بر خصوصیات کیفی گوشت پس از رفع انجماد دارد و در انتخاب نوع فرایند رفع انجماد در صنعت به ظرفیت نگهداری آب گوشت توجه بیشتری می‌شود (Otto et al., 2006). بررسی نتایج آنالیز واریانس و مقایسه میانگین نمونه‌ها نشان

می‌شود. به علت اینکه نمونه مدت زمان کمی را تحت تابش قرار می‌گیرد خشکیدگی سطحی نیز در توان‌های بالا اتفاق نمی‌افتد.



شکل 5- اثر توان منبع تابش، دمای هوا و سرعت گردش هوا بر ظرفیت نگهداری آب

فرایندهای نوین مورد استفاده قرار می‌گیرد. مطالعات مختلف نشان داده است روش‌های سنتی سبب کمترین تغییرات pH در نمونه می‌شود. از مقایسه این روش‌ها با مطالعات این پژوهش می‌توان دریافت تغییرات حرارتی و تشعشع مادون قرمز آسیبی به ساختار درون سلولی وارد نکرده و افت ترکیبات میان بافتی در حداقل مقدار خود بوده که منجر به تغییرات pH نسبت به نمونه شاهد نشده است.

ارزیابی رنگ

تجزیه آماری نشان داد که بین نمونه‌های رفع انجماد شده از نظر رنگ تفاوت معنی‌داری وجود ندارد ($P > 0.05$). استفاده از تشعشع مادون قرمز به مدت طولانی به منظور رفع انجماد سبب افت قابل توجهی از آب محصول شده که در نتیجه سبب سوختگی یا خشکی سطحی می‌شود. در این پژوهش ترکیب هوای گرم و گردش هوا سبب شد تا نمونه‌ها به مدت طولانی در معرض تابش قرار نگرفته و دچار تیرگی سطحی نشوند. علیزاده و همکاران (2007) رفع انجماد ماهی سالمون را در دو روش ابتدا دمای 20°C مورد بررسی قرار دادند و میزان اختلاف روشنایی را 11/52 و سپس در فشار 200 مگاپاسکال رفع انجماد را انجام دادند و اختلاف روشنایی را 7/75 گزارش کردند. علی و همکاران پس از رفع انجماد گوشت مرغ تکه‌ای در دمای هوای 4°C تغییرات پارامترهای L از 43/30 به 46/6 افزایش، a از 2/14 به 2/72 کاهش و b از 6/37 به 4/17 کاهش گزارش نمودند.

بهینه‌یابی پارامترهای فرایند

شرایط بهینه رفع انجماد گوشت مرغ چرخ شده به منظور رسیدن به حداقل مدت زمان رفع انجماد، افت ناشی از رفع انجماد و تغییرات رنگ و تغییرات pH و حداکثر سرعت رفع انجماد و ظرفیت نگهداری

pH

این شاخص در صورتی که پس از رفع انجماد محصول خروج ترکیبات اسیدی کمتر باشد تمایل دارد نسبت به نمونه تازه کمتر باشد. pH در واقع میزان یون آزاد هیدروژن را نشان می‌دهد. هرچه میزان افت ناشی از رفع انجماد بیشتر باشد و اسید چرب بیشتری از نمونه خارج شود کاهش می‌یابد و همچنین اگر مدت زمان رفع انجماد طولانی باشد که منجر به افزایش فعالیت آنزیمی و میکروبی شود باعث تغییر pH گوشت مرغ چرخ شده رفع انجماد شده نسبت به تازه آن می‌شود. با توجه به بررسی‌های انجام شده بر آنالیز واریانس و مقایسه میانگین نشان داده شد که سطوح مختلف پارامترهای توان منبع تابش، دمای هوا و سرعت گردش هوا تاثیری بر میزان pH رفع انجماد نمونه نداشته است. علی و همکاران (2015) برای رفع انجماد تیکه‌های گوشت مرغ از دمای 4°C استفاده نمودند و تغییرات pH را در دامنه 5/79–5/49 گزارش کردند که اختلاف معنی‌داری با نمونه تازه نداشته است (Ali et al., 2015) که مشابه با داده‌های این پژوهش بوده است. هیسه و همکاران (2010) با استفاده از میدان الکترواستاتیک با ولتاژ بالا و یخچال 4°C رفع انجماد گوشت مرغ منجمد را مورد بررسی قرار دادند و pH را در دامنه 5/77–5/56 با روش یخچال گزارش کردند که این روش موجب تغییر معنی‌داری در pH گوشت مرغ در طول رفع انجماد نشده است (Hsieh et al., 2010). Jo و همکاران (2014) رفع انجماد گوشت گاو را در دمای هوای 5°C مورد بررسی قرار دادند و اختلاف معنی‌داری در تغییرات pH طی رفع انجماد مشاهده نکردند. Yu و همکاران (2005) رفع انجماد گوشت ران و سینه مرغ را در دمای 18°C مورد بررسی قرار دادند و اختلاف معنی‌داری در میزان تغییرات pH مشاهده نکردند. با توجه به این که استفاده از روش‌های سنتی به‌عنوان شاهد در

انجماد 4/40 دقیقه، افت ناشی از رفع انجماد 0/03%، سرعت رفع انجماد 30/127 cm/h، ظرفیت نگهداری آب 88/392%، pH 5/9 و اختلاف رنگ 7/94 به دست آمد و مقدار تابع مطلوبیت 79% بوده است.

آب مورد بررسی قرار گرفت. شاخص‌ها و محدوده‌های مورد بررسی برای بهینه‌سازی در جدول 2 آورده شده است. در نقطه بهینه شرایط فرایند به صورت توان منبع تابش 247/73 W، دمای هوا 38/97 °C و سرعت گردش هوا 6/75 m/s بوده است همچنین در نقطه بهینه مقادیر به دست آمده برای هر یک از پاسخ‌ها به صورت مدت زمان رفع

جدول 2- شاخص‌ها و محدوده‌های بهینه سازی در رفع انجماد ترکیبی تشعشع مادون قرمز - هوای گرم

متغیر/ پاسخ	هدف	حد پایین	حد بالا	درجه اهمیت
توان منبع تابش (w)	داخل محدوده	12/27	247/73	-
دمای هوا (°C)	داخل محدوده	27/57	49/43	-
سرعت گردش هوا (m/s)	داخل محدوده	0/21	7/47	-
مدت زمان رفع انجماد (min)	حداقل	4/89	13/5	++++
افت ناشی از رفع انجماد (%)	حداقل	0/03	6/1	++++
سرعت رفع انجماد (cm/h)	حداکثر	11/11	30/67	++++
ظرفیت نگهداری آب (%)	حداکثر	69/89	99/59	++++
pH	داخل محدوده	5/73	6/02	++++
اختلاف رنگ	حداقل	2/13	7/94	++++

ظرفیت نگهداری آب محصول شده است در حالی که تغییری در رنگ و pH دیده نشده است. این روش جدید قابلیت پوشش‌دهی مسائل مورد بحث در رفع انجماد را داشته است، همچنین این روش نسبت به سایر روش‌ها که تا به امروز مورد بحث بوده است هزینه راه اندازی و آماده سازی کمتری را به همراه دارد.

نتیجه‌گیری

استفاده از روش ترکیبی تشعشع مادون قرمز - هوای گرم به منظور رفع انجماد گوشت مرغ چرخ شده سبب افزایش حفظ کیفیت محصول شده است. با افزایش توان منبع تابش و دمای محفظه و سرعت گردش هوا تا یک مرز مشخص شده در نقطه بهینه باعث کاهش زمان و افت ناشی از رفع انجماد و افزایش سرعت رفع انجماد و

منابع

- Aghajanzadeh, S., Kashaninejad, M. and Ziaifar, A.M., 2016. Effect of infrared heating on degradation kinetics of key lime juice physicochemical properties. *Innovative Food Science & Emerging Technologies*, 38(1), 139-148.
- Ali, S., Zhang, W., Rajput, N., Khan, M.A., Li, C.B. and Zhou, G.H., 2015. Effect of multiple freeze-thaw cycles on the quality of chicken breast meat. *Food chemistry*, 173, 808-814.
- Alizadeh, E., Chapleau, N., De Lamballerie, M. and LeBail, A., 2007. Effects of freezing and thawing processes on the quality of Atlantic salmon (*Salmo salar*) fillets. *Journal of food science*, 72(5), 279-284.
- Bagheri, H., Kashaninejad, M., Ziaifar, A.M. and Aalami, M., 2016. Novel hybridized infrared-hot air method for roasting of peanut kernels. *Innovative Food Science & Emerging Technologies*, 37(1), 106-114.
- Boonsumrej, S., Chaiwanichsiri, S., Tantratian, S., Suzuki, T. and Takai, R., 2007. Effects of freezing and thawing on the quality changes of tiger shrimp (*Penaeus monodon*) frozen by air-blast and cryogenic freezing. *Journal of Food Engineering*, 80(1), 292-299.
- Campanone, L.A. and Zaritzky, N.E., 2010. Mathematical modeling and simulation of microwave thawing of large solid foods under different operating conditions. *Food and Bioprocess Technology*, 3(6), 813-825.
- Chan, J.T., Omana, D.A. and Betti, M., 2011. Effect of ultimate pH and freezing on the biochemical properties of proteins in turkey breast meat. *Food Chemistry*, 127(1), 109-117.
- Farag, K.W., Duggan, E., Morgan, D.J., Cronin, D.A. and Lyng, J.G., 2009. A comparison of conventional and radio frequency defrosting of lean beef meats: Effects on water binding characteristics. *Meat science*, 83(2), 278-284.
- Farag, K.W., Lyng, J.G., Morgan, D.J. and Cronin, D.A., 2011. A comparison of conventional and radio frequency thawing of beef meats: effects on product temperature distribution. *Food and Bioprocess Technology*, 4(7), 1128-1136.

- Hong, G.P., Shim, K.B., Choi, M.J. and Min, S.G., 2009. Effects of air blast thawing combined with infrared radiation on physical properties of pork. *Korean Journal for Food Science of Animal Resources*, 29(3), 302-309.
- Hsieh, C.W., Lai, C.H., Ho, W.J., Huang, S.C. and Ko, W.C., 2010. Effect of Thawing and Cold Storage on Frozen Chicken Thigh Meat Quality by High-Voltage Electrostatic Field. *Journal of food science*, 75(4), 193-197.
- Icier, F., Izzetoglu, G.T., Bozkurt, H. and Ober, A., 2010. Effects of ohmic thawing on histological and textural properties of beef cuts. *Journal of Food Engineering*, 99(3), 360-365.
- James, C., Ketteringham, L., Palpacelli, S. and James, S., 2009. Prediction of heat transfer during food chilling, freezing, thawing, and distribution. In *Predictive Modeling and Risk Assessment*, 4(1), 55-78.
- Jo, Y.J., Jang, M.Y., Jung, Y.K., Kim, J.H., Sim, J.B., Chun, J.Y., Yoo, S.M., Han, G.J. and Min, S.G., 2014. Effect of novel quick freezing techniques combined with different thawing processes on beef quality. *Korean Journal for Food Science of Animal Resources*, 34(6), 777-783.
- Knorr, D., Froehling, A., Jaeger, H., Reineke, K., Schlueter, O. and Schoessler, K., 2011. Emerging technologies in food processing. *Annual review of food science and technology*, 2, 203-235.
- Otto, G., Roehe, R., Looft, H., Thoelking, L., Henning, M., Plastow, G.S. and Kalm, E., 2006. Drip loss of case-ready meat and of premium cuts and their associations with earlier measured sample drip loss, meat quality and carcass traits in pigs. *Meat science*, 72(4), 680-687.
- Pan, Z. and Atungulu, G.G. eds., 2010. *Infrared heating for food and agricultural processing*. CRC Press.
- Raji, A.O., Akinoso, R. and Raji, M.O., 2016. Effect of freeze-thaw cycles on the nutritional quality of some selected Nigerian soups. *Food science & nutrition*, 4(2), 163-180.
- Rosenthal, I., 2012. *Electromagnetic radiations in food science*. Springer Science & Business Media, 19.
- Salehi, F., Kashaninejad, M., Asadi, F. and Najafi, A., 2016. Improvement of quality attributes of sponge cake using infrared dried button mushroom. *Journal of food science and technology*, 53(3), 1418-1423.
- Seyedabadi, M.M., Kashaninejad, M., Mahoonak, A.R. and Maghsoudlou, Y., 2016. Effect of ultrafiltration process on quality characteristics of sour orange juice. *Journal of Food Science & Technology*, 13(52), 121-131.
- Taher, B.J. and Farid, M.M., 2001. Cyclic microwave thawing of frozen meat: experimental and theoretical investigation. *Chemical Engineering and Processing: Process Intensification*, 40(4), 379-389.
- Wang, H., Luo, Y., Shi, C. and Shen, H., 2015. Effect of different thawing methods and multiple freeze-thaw cycles on the quality of common carp (*Cyprinus carpio*). *Journal of aquatic food product technology*, 24(2), 153-162.
- Xia, X., Kong, B., Liu, J., Diao, X. and Liu, Q., 2012. Influence of different thawing methods on physicochemical changes and protein oxidation of porcine longissimus muscle. *LWT-Food Science and Technology*, 46(1), 280-286.
- Yu, L.H., Lee, E.S., Jeong, J.Y., Paik, H.D., Choi, J.H. and Kim, C.J., 2005. Effects of thawing temperature on the physicochemical properties of pre-rigor frozen chicken breast and leg muscles. *Meat science*, 71(2), 375-382.
- Yu, X.L., Li, X.B., Zhao, L., Xu, X.L., Ma, H.J., Zhou, G.H. and Boles, J.A., 2010. Effects of different freezing rates and thawing rates on the manufacturing properties and structure of pork. *Journal of muscle foods*, 21(2), 177-196.

Optimization of thawing of ground chicken by infrared radiation- warm air method using response surface methodology

M. Davoodi^a, M. Kashaninejad^{a*}, A. M. Ziaifar^a, M. Ghorbani^b

Received: 2017.02.21

Accepted: 2017.09.17

Introduction: There are many methods for freezing and thawing of meat. Suitable technology must be applied for freezing and thawing of chicken to keep the quality of product effectively. Novel methods including high pressure, ohmic heating and high-voltage electrostatic field have been recently considered for thawing process. IR heating provides positive advantages compared to conventional heating such as reduced quality losses, shorten heating time, significant energy saving and uniform heating. Although IR has been used for various food treatments but a few researches have been reported for its application in thawing process. This study investigates the effects of this new method on thawing time, thawing loss, thawing rate, water holding capacity, color, pH, shear force, characteristics of frozen ground chicken and also optimizes the thawing conditions using response surface method.

Material and methods: Fresh chicken breast was purchased from a local market (Gorgan, Iran). After washing and mincing, they were cut into a cube form (3×3×5 cm³) and stored in the freezer at -20 °C for 5 days before thawing process. Thawing was performed using an IR-warm air apparatus consisted of IR lamp (Far IR 1500 watts), heating elements (4 electrical elements with power 750 W), air velocity unit, centrifugal fan and thawing chamber. For thawing of samples, three variables including IR power (12.27- 247.73 W), air temperature (27.57- 49.43°C) and air velocity (0.21- 7.47 m/s) were applied. The central composite rotatable design was created by entering the three independent variables at five different levels in 20 runs with six central points. Response surface analysis was performed using Design-Expert software. The equipment was allowed to work at least 10 min to stabilize the specified conditions before the start of each thawing run. Frozen sample was then removed from freezer and placed under the infrared lamp with 12 cm distance. Quality of ground chicken breast was determined by thawing time, thawing loss, thawing rate, water holding capacity, pH and color indices.

Results and Discussion: The methodology and techniques used in freezing and thawing processes play an important role in the preservation the quality of frozen foods. The results showed that increasing IR power, air temperature and air velocity decreased the thawing time (13.5–6.8 min), thawing loss (6.1–0.03 %) and increased thawing rate (11.11-30.67 cm/h), WHC (65.45–94.16 %) and improved the quality characteristics of thawed ground chicken. Generally, the ability of meat to retain free or bound water is one of the important quality characteristic of raw meat. One of the most important indicators of quality on thawing food is water holding capacity. The final pH is dependent on the amount of drip loss between the stocky and tenuous filaments. In addition, the difference in pH can be due to texture damage. Generally, the pH of chicken breast after postmortem is about 5.6- 5.8. The ΔE values and pH of the ground chicken breast was also in the same range during thawing process. Numerical optimization conditions were investigated based on the lowest thawing time, thawing loss and highest thawing rate and water holding capacity. The best suggested condition by the software was IR power 247.73 W, air temperature 38.97°C and air velocity 6.75 m/s (desirability= 0.79). Based on the obtained result using T-test analysis, there was no considerable difference between the experimental values and the predicted one (P<0.05). The results revealed that application of IR-warm air method for thawing of ground chicken breast is a promising technique to increase the quality attributes of product.

Key words: Ground Chicken, Infrared Radiation, Quality Characteristics, Thawing, Warm Air

a. Department of Food Process Engineering, Gorgan University of Agricultural Sciences and Natural Resources, Basij Square, Gorgan, Iran

b. Department of Food Science and Technology, Gorgan University of Agricultural Sciences and Natural Resources, Basij Square, Gorgan, Iran

(Corresponding author, E-mail address: kashani@gau.ac.ir)